

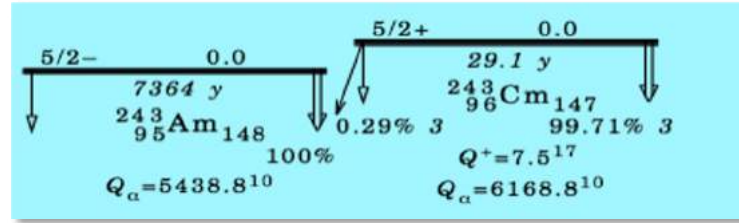
# *Status Report on Nuclear Data Activities at Oak Ridge National Laboratory*

*USNDP 2022*

*Michael Smith, Caroline Nesaraja, Larry Zhang*

ORNL is managed by UT-Battelle, LLC for the US Department of Energy

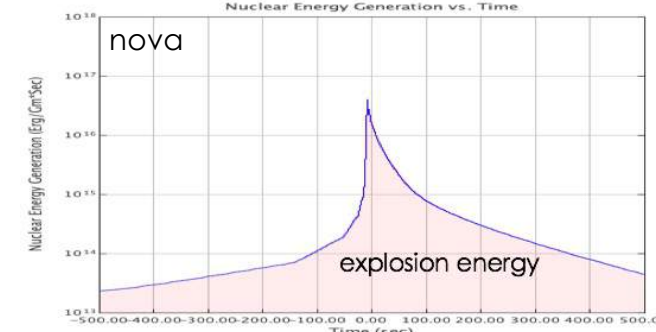
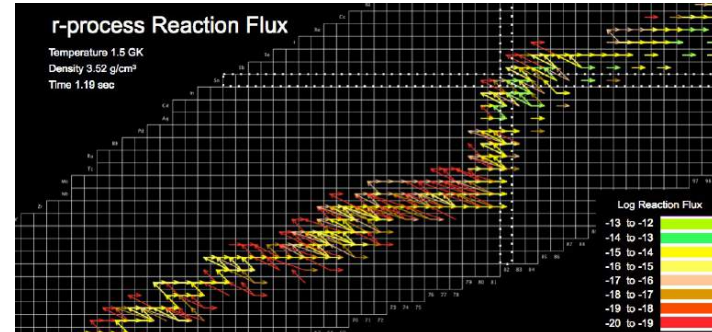
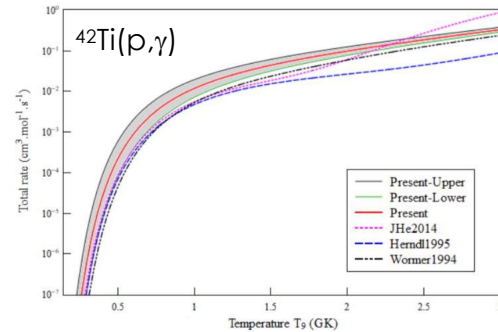
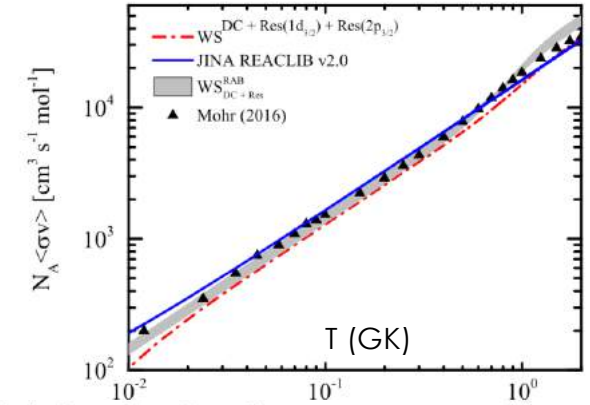
# Members and Scope of Activities



Adopted Levels, Gammas (continued)

$\gamma(^{243}\text{Pu})$  (continued)

E(level)	$E_\gamma^\dagger$	$I_\gamma^\dagger$
1213	879.8 <sup>10</sup>	75 35
1261.1	925.3 <sup>10</sup>	100 50
1301.7	328.1	100
	648.8 <sup>8</sup>	≤37 <sup>8</sup>
	676.0 3	100 10
	918.0 10	43 16
1367.9	663.9 6	100 16
	714.7 <sup>11</sup>	31 16
	976.0 12	84 42



- Members and Activities:
  - Caroline Nesaraja: Research Staff Member - ENSDF evaluator
  - Michael Smith: Research Staff Member - nuclear astro data, software systems
  - Larry Zhang : Student - nuclear astrophysics data

# Murray Martin – Nuclear Data Pioneer



In Memoriam  
Murray J. Martin, 1935-2022

The field of nuclear data lost a pioneer with the passing of Murray Martin on March 9, 2022.

Born in Regina, Canada in 1935, Murray Martin received his B.A. and M.A. in experimental physics from the University of Saskatchewan and his PhD in theoretical nuclear physics in 1962 from McMaster Univ. His thesis was entitled “A Study of the Low-Lying Excited Levels in the Even Lead Isotopes”. He joined the NSF Data Project in 1962 in Washington, DC, and then followed that project as it moved to ORNL in 1964 as the Nuclear Data Project (NDP). Murray stayed with the NDP until his retirement in 1997 but resumed his work on a part-time basis in 2004 as a subcontractor to ORNL, which he continued until his last days.

Approved for public release. Distribution is unlimited

ORNL/TM-2022/1835

## Guidelines for Nuclear Structure Evaluators



Murray J. Martin (ORNL/UTK)

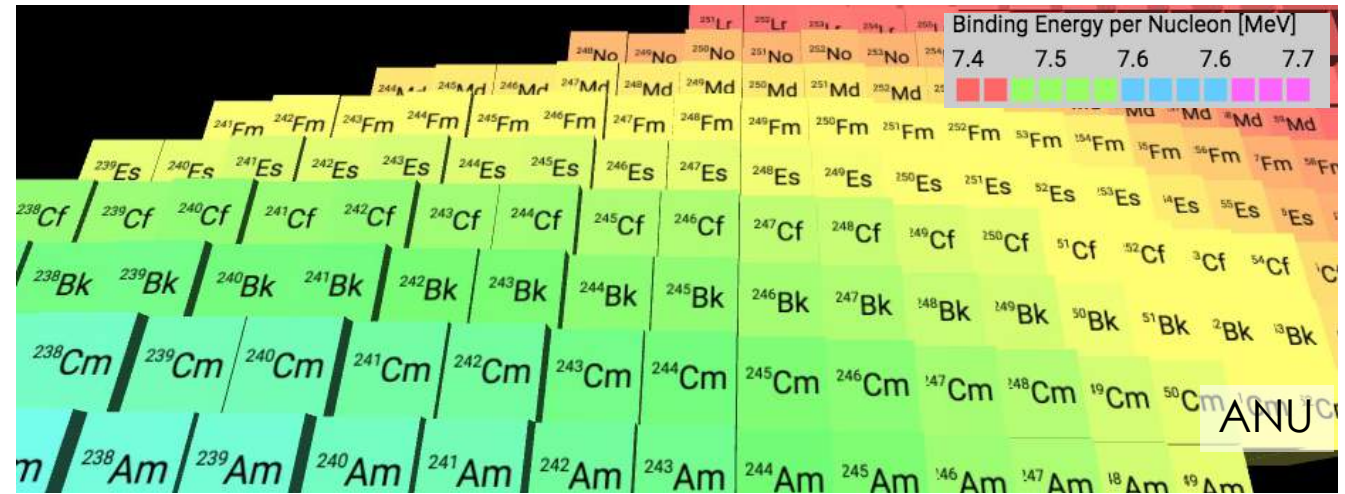
4/26/2021



# Nuclear Structure Data ENSDF Evaluations

Caroline Nesaraja

- **ORNL responsibility: A=241-249**  
**A = 69**



## Mass Chain

## Current ENSDF Database (from NNDC website)

241	C.D. Nesaraja. NDS 130, 183 (2015)	(Lit cut-off Sept 2015)
242	Y. A. Akovali. NDS 96, 177 (2002)	(Lit cut-off Sept 2001)
243	C.D. Nesaraja & E.A. McCutchan. NDS 121, 695 (2014)	(Lit cut-off Sept 2013)
244	C.D. Nesaraja : NDS 146, 387 (2017)	(Lit cut-off Aug 2017)
245	E. Browne & J.K. Tuli. NDS 112, 447 (2011)	(Lit. cut-off June 2010)
246	E. Browne & J.K. Tuli. NDS 112, 1833 (2011)	(Lit. cut-off Jan 2011)
247	C. D. Nesaraja : NDS 125, 395 (2015)	(Lit. cut-off Mar 2014)
248	M.J. Martin :NDS 122, 377 (2014)	(Lit. cut-off Sept 2014)
249	K. Abusaleem: NDS 112, 2129 (2011)	(Lit. cut-off Dec 2010)
69	C.D. Nesaraja : NDS 115, 1 (2014)	(Lit. cut-off July 2013)

# Nuclear Structure Data ENSDF Evaluations

Caroline Nesaraja

Mass Chain	Evaluator	#Nuclides	Status
*137	Nesaraja	16	Editorial Review
246	Nesaraja	9	Submitted to NNDC
242	Martin/Nesaraja	9	Editorial Review



ANU

NUCLEAR DATA SHEETS

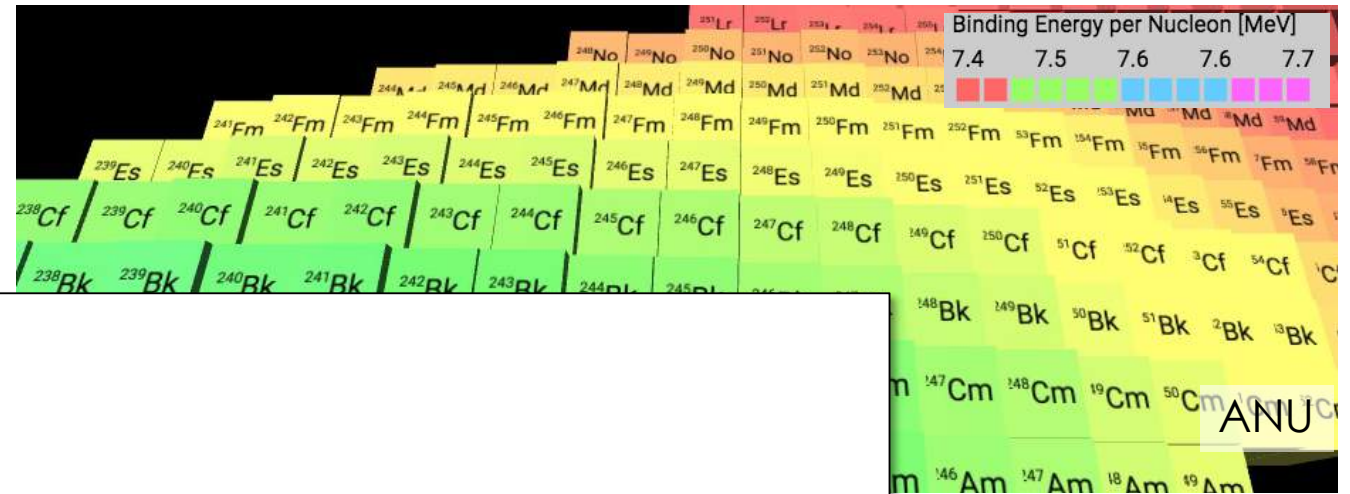
Index for A=137

Nuclide	Data Type	Page	Nuclide	Data Type	Page
<sup>137</sup> La	Skeleton Scheme for A=137	4	<sup>137</sup> La	<sup>137</sup> La(g), <sup>137</sup> La(s), <sup>137</sup> La(l)	287
<sup>137</sup> La	Adopted Levels	5	<sup>137</sup> La	<sup>137</sup> La <sup>+</sup> , <sup>137</sup> La <sup>0</sup> , <sup>137</sup> La <sup>-</sup>	288
<sup>137</sup> La	Adopted Levels	6	<sup>137</sup> La	<sup>137</sup> La <sup>+</sup> , <sup>137</sup> La <sup>0</sup> , <sup>137</sup> La <sup>-</sup>	289
<sup>137</sup> La	Adopted Levels	7	<sup>137</sup> La	<sup>137</sup> La <sup>+</sup> , <sup>137</sup> La <sup>0</sup> , <sup>137</sup> La <sup>-</sup>	290
<sup>137</sup> La	Adopted Levels, Gamma	10	<sup>137</sup> La	<sup>137</sup> La <sup>+</sup> , <sup>137</sup> La <sup>0</sup> , <sup>137</sup> La <sup>-</sup>	291
<sup>137</sup> La	<sup>137</sup> La <sup>+</sup> decay, <sup>137</sup> La <sup>0</sup> decay, <sup>137</sup> La <sup>-</sup> decay	13	<sup>137</sup> La	<sup>137</sup> La <sup>+</sup> , <sup>137</sup> La <sup>0</sup> , <sup>137</sup> La <sup>-</sup>	292
<sup>137</sup> La	<sup>137</sup> La <sup>+</sup> decay, <sup>137</sup> La <sup>0</sup> decay, <sup>137</sup> La <sup>-</sup> decay	16	<sup>137</sup> La	<sup>137</sup> La <sup>+</sup> , <sup>137</sup> La <sup>0</sup> , <sup>137</sup> La <sup>-</sup>	293
<sup>137</sup> La	Adopted Levels, Gamma	17	<sup>137</sup> La	<sup>137</sup> La <sup>+</sup> , <sup>137</sup> La <sup>0</sup> , <sup>137</sup> La <sup>-</sup>	294
<sup>137</sup> La	<sup>137</sup> La <sup>+</sup> decay, <sup>137</sup> La <sup>0</sup> decay, <sup>137</sup> La <sup>-</sup> decay	22	<sup>137</sup> La	<sup>137</sup> La <sup>+</sup> , <sup>137</sup> La <sup>0</sup> , <sup>137</sup> La <sup>-</sup>	295
<sup>137</sup> La	<sup>137</sup> La <sup>+</sup> decay, <sup>137</sup> La <sup>0</sup> decay, <sup>137</sup> La <sup>-</sup> decay	25	<sup>137</sup> La	<sup>137</sup> La <sup>+</sup> , <sup>137</sup> La <sup>0</sup> , <sup>137</sup> La <sup>-</sup>	296
<sup>137</sup> La	<sup>137</sup> La <sup>+</sup> decay, <sup>137</sup> La <sup>0</sup> decay, <sup>137</sup> La <sup>-</sup> decay	28	<sup>137</sup> La	<sup>137</sup> La <sup>+</sup> , <sup>137</sup> La <sup>0</sup> , <sup>137</sup> La <sup>-</sup>	297
<sup>137</sup> La	<sup>137</sup> La <sup>+</sup> decay, <sup>137</sup> La <sup>0</sup> decay, <sup>137</sup> La <sup>-</sup> decay	32	<sup>137</sup> La	<sup>137</sup> La <sup>+</sup> , <sup>137</sup> La <sup>0</sup> , <sup>137</sup> La <sup>-</sup>	298
<sup>137</sup> La	<sup>137</sup> La <sup>+</sup> decay, <sup>137</sup> La <sup>0</sup> decay, <sup>137</sup> La <sup>-</sup> decay	33	<sup>137</sup> La	<sup>137</sup> La <sup>+</sup> , <sup>137</sup> La <sup>0</sup> , <sup>137</sup> La <sup>-</sup>	299
<sup>137</sup> La	Adopted Levels, Gamma	33	<sup>137</sup> La	<sup>137</sup> La <sup>+</sup> , <sup>137</sup> La <sup>0</sup> , <sup>137</sup> La <sup>-</sup>	300
<sup>137</sup> La	<sup>137</sup> La <sup>+</sup> decay, <sup>137</sup> La <sup>0</sup> decay, <sup>137</sup> La <sup>-</sup> decay	41	<sup>137</sup> La	<sup>137</sup> La <sup>+</sup> , <sup>137</sup> La <sup>0</sup> , <sup>137</sup> La <sup>-</sup>	301
<sup>137</sup> La	<sup>137</sup> La <sup>+</sup> decay, <sup>137</sup> La <sup>0</sup> decay, <sup>137</sup> La <sup>-</sup> decay	47	<sup>137</sup> La	<sup>137</sup> La <sup>+</sup> , <sup>137</sup> La <sup>0</sup> , <sup>137</sup> La <sup>-</sup>	302
<sup>137</sup> La	<sup>137</sup> La <sup>+</sup> decay, <sup>137</sup> La <sup>0</sup> decay, <sup>137</sup> La <sup>-</sup> decay	49	<sup>137</sup> La	<sup>137</sup> La <sup>+</sup> , <sup>137</sup> La <sup>0</sup> , <sup>137</sup> La <sup>-</sup>	303
<sup>137</sup> La	<sup>137</sup> La <sup>+</sup> decay, <sup>137</sup> La <sup>0</sup> decay, <sup>137</sup> La <sup>-</sup> decay	53	<sup>137</sup> La	<sup>137</sup> La <sup>+</sup> , <sup>137</sup> La <sup>0</sup> , <sup>137</sup> La <sup>-</sup>	304
<sup>137</sup> La	<sup>137</sup> La <sup>+</sup> decay, <sup>137</sup> La <sup>0</sup> decay, <sup>137</sup> La <sup>-</sup> decay	59	<sup>137</sup> La	<sup>137</sup> La <sup>+</sup> , <sup>137</sup> La <sup>0</sup> , <sup>137</sup> La <sup>-</sup>	305
<sup>137</sup> La	<sup>137</sup> La <sup>+</sup> decay, <sup>137</sup> La <sup>0</sup> decay, <sup>137</sup> La <sup>-</sup> decay	61	<sup>137</sup> La	<sup>137</sup> La <sup>+</sup> , <sup>137</sup> La <sup>0</sup> , <sup>137</sup> La <sup>-</sup>	306
<sup>137</sup> La	<sup>137</sup> La <sup>+</sup> decay, <sup>137</sup> La <sup>0</sup> decay, <sup>137</sup> La <sup>-</sup> decay	61	<sup>137</sup> La	<sup>137</sup> La <sup>+</sup> , <sup>137</sup> La <sup>0</sup> , <sup>137</sup> La <sup>-</sup>	307
<sup>137</sup> La	<sup>137</sup> La <sup>+</sup> decay, <sup>137</sup> La <sup>0</sup> decay, <sup>137</sup> La <sup>-</sup> decay	105	<sup>137</sup> La	<sup>137</sup> La <sup>+</sup> , <sup>137</sup> La <sup>0</sup> , <sup>137</sup> La <sup>-</sup>	308
<sup>137</sup> La	<sup>137</sup> La <sup>+</sup> decay, <sup>137</sup> La <sup>0</sup> decay, <sup>137</sup> La <sup>-</sup> decay	105	<sup>137</sup> La	<sup>137</sup> La <sup>+</sup> , <sup>137</sup> La <sup>0</sup> , <sup>137</sup> La <sup>-</sup>	309
<sup>137</sup> La	<sup>137</sup> La <sup>+</sup> decay, <sup>137</sup> La <sup>0</sup> decay, <sup>137</sup> La <sup>-</sup> decay	106	<sup>137</sup> La	<sup>137</sup> La <sup>+</sup> , <sup>137</sup> La <sup>0</sup> , <sup>137</sup> La <sup>-</sup>	310
<sup>137</sup> La	<sup>137</sup> La <sup>+</sup> decay, <sup>137</sup> La <sup>0</sup> decay, <sup>137</sup> La <sup>-</sup> decay	111	<sup>137</sup> La	<sup>137</sup> La <sup>+</sup> , <sup>137</sup> La <sup>0</sup> , <sup>137</sup> La <sup>-</sup>	311
<sup>137</sup> La	<sup>137</sup> La <sup>+</sup> decay, <sup>137</sup> La <sup>0</sup> decay, <sup>137</sup> La <sup>-</sup> decay	111	<sup>137</sup> La	<sup>137</sup> La <sup>+</sup> , <sup>137</sup> La <sup>0</sup> , <sup>137</sup> La <sup>-</sup>	312
<sup>137</sup> La	<sup>137</sup> La <sup>+</sup> decay, <sup>137</sup> La <sup>0</sup> decay, <sup>137</sup> La <sup>-</sup> decay	114	<sup>137</sup> La	<sup>137</sup> La <sup>+</sup> , <sup>137</sup> La <sup>0</sup> , <sup>137</sup> La <sup>-</sup>	313
<sup>137</sup> La	<sup>137</sup> La <sup>+</sup> decay, <sup>137</sup> La <sup>0</sup> decay, <sup>137</sup> La <sup>-</sup> decay	120	<sup>137</sup> La	<sup>137</sup> La <sup>+</sup> , <sup>137</sup> La <sup>0</sup> , <sup>137</sup> La <sup>-</sup>	314
<sup>137</sup> La	<sup>137</sup> La <sup>+</sup> decay, <sup>137</sup> La <sup>0</sup> decay, <sup>137</sup> La <sup>-</sup> decay	121	<sup>137</sup> La	<sup>137</sup> La <sup>+</sup> , <sup>137</sup> La <sup>0</sup> , <sup>137</sup> La <sup>-</sup>	315
<sup>137</sup> La	<sup>137</sup> La <sup>+</sup> decay, <sup>137</sup> La <sup>0</sup> decay, <sup>137</sup> La <sup>-</sup> decay	122	<sup>137</sup> La	<sup>137</sup> La <sup>+</sup> , <sup>137</sup> La <sup>0</sup> , <sup>137</sup> La <sup>-</sup>	316
<sup>137</sup> La	<sup>137</sup> La <sup>+</sup> decay, <sup>137</sup> La <sup>0</sup> decay, <sup>137</sup> La <sup>-</sup> decay	123	<sup>137</sup> La	<sup>137</sup> La <sup>+</sup> , <sup>137</sup> La <sup>0</sup> , <sup>137</sup> La <sup>-</sup>	317
<sup>137</sup> La	<sup>137</sup> La <sup>+</sup> decay, <sup>137</sup> La <sup>0</sup> decay, <sup>137</sup> La <sup>-</sup> decay	126	<sup>137</sup> La	<sup>137</sup> La <sup>+</sup> , <sup>137</sup> La <sup>0</sup> , <sup>137</sup> La <sup>-</sup>	318
<sup>137</sup> La	<sup>137</sup> La <sup>+</sup> decay, <sup>137</sup> La <sup>0</sup> decay, <sup>137</sup> La <sup>-</sup> decay	140	<sup>137</sup> La	<sup>137</sup> La <sup>+</sup> , <sup>137</sup> La <sup>0</sup> , <sup>137</sup> La <sup>-</sup>	319
<sup>137</sup> La	<sup>137</sup> La <sup>+</sup> decay, <sup>137</sup> La <sup>0</sup> decay, <sup>137</sup> La <sup>-</sup> decay	149	<sup>137</sup> La	<sup>137</sup> La <sup>+</sup> , <sup>137</sup> La <sup>0</sup> , <sup>137</sup> La <sup>-</sup>	320
<sup>137</sup> La	<sup>137</sup> La <sup>+</sup> decay, <sup>137</sup> La <sup>0</sup> decay, <sup>137</sup> La <sup>-</sup> decay	153	<sup>137</sup> La	<sup>137</sup> La <sup>+</sup> , <sup>137</sup> La <sup>0</sup> , <sup>137</sup> La <sup>-</sup>	321
<sup>137</sup> La	<sup>137</sup> La <sup>+</sup> decay, <sup>137</sup> La <sup>0</sup> decay, <sup>137</sup> La <sup>-</sup> decay	156	<sup>137</sup> La	<sup>137</sup> La <sup>+</sup> , <sup>137</sup> La <sup>0</sup> , <sup>137</sup> La <sup>-</sup>	322
<sup>137</sup> La	<sup>137</sup> La <sup>+</sup> decay, <sup>137</sup> La <sup>0</sup> decay, <sup>137</sup> La <sup>-</sup> decay	158	<sup>137</sup> La	<sup>137</sup> La <sup>+</sup> , <sup>137</sup> La <sup>0</sup> , <sup>137</sup> La <sup>-</sup>	323
<sup>137</sup> La	<sup>137</sup> La <sup>+</sup> decay, <sup>137</sup> La <sup>0</sup> decay, <sup>137</sup> La <sup>-</sup> decay	160	<sup>137</sup> La	<sup>137</sup> La <sup>+</sup> , <sup>137</sup> La <sup>0</sup> , <sup>137</sup> La <sup>-</sup>	324
<sup>137</sup> La	<sup>137</sup> La <sup>+</sup> decay, <sup>137</sup> La <sup>0</sup> decay, <sup>137</sup> La <sup>-</sup> decay	160	<sup>137</sup> La	<sup>137</sup> La <sup>+</sup> , <sup>137</sup> La <sup>0</sup> , <sup>137</sup> La <sup>-</sup>	325
<sup>137</sup> La	<sup>137</sup> La <sup>+</sup> decay, <sup>137</sup> La <sup>0</sup> decay, <sup>137</sup> La <sup>-</sup> decay	162	<sup>137</sup> La	<sup>137</sup> La <sup>+</sup> , <sup>137</sup> La <sup>0</sup> , <sup>137</sup> La <sup>-</sup>	326
<sup>137</sup> La	<sup>137</sup> La <sup>+</sup> decay, <sup>137</sup> La <sup>0</sup> decay, <sup>137</sup> La <sup>-</sup> decay	170	<sup>137</sup> La	<sup>137</sup> La <sup>+</sup> , <sup>137</sup> La <sup>0</sup> , <sup>137</sup> La <sup>-</sup>	327
<sup>137</sup> La	<sup>137</sup> La <sup>+</sup> decay, <sup>137</sup> La <sup>0</sup> decay, <sup>137</sup> La <sup>-</sup> decay	170	<sup>137</sup> La	<sup>137</sup> La <sup>+</sup> , <sup>137</sup> La <sup>0</sup> , <sup>137</sup> La <sup>-</sup>	328
<sup>137</sup> La	<sup>137</sup> La <sup>+</sup> decay, <sup>137</sup> La <sup>0</sup> decay, <sup>137</sup> La <sup>-</sup> decay	185	<sup>137</sup> La	<sup>137</sup> La <sup>+</sup> , <sup>137</sup> La <sup>0</sup> , <sup>137</sup> La <sup>-</sup>	329
<sup>137</sup> La	<sup>137</sup> La <sup>+</sup> decay, <sup>137</sup> La <sup>0</sup> decay, <sup>137</sup> La <sup>-</sup> decay	189	<sup>137</sup> La	<sup>137</sup> La <sup>+</sup> , <sup>137</sup> La <sup>0</sup> , <sup>137</sup> La <sup>-</sup>	330
<sup>137</sup> La	<sup>137</sup> La <sup>+</sup> decay, <sup>137</sup> La <sup>0</sup> decay, <sup>137</sup> La <sup>-</sup> decay	193	<sup>137</sup> La	<sup>137</sup> La <sup>+</sup> , <sup>137</sup> La <sup>0</sup> , <sup>137</sup> La <sup>-</sup>	331
<sup>137</sup> La	<sup>137</sup> La <sup>+</sup> decay, <sup>137</sup> La <sup>0</sup> decay, <sup>137</sup> La <sup>-</sup> decay	197	<sup>137</sup> La	<sup>137</sup> La <sup>+</sup> , <sup>137</sup> La <sup>0</sup> , <sup>137</sup> La <sup>-</sup>	332
<sup>137</sup> La	<sup>137</sup> La <sup>+</sup> decay, <sup>137</sup> La <sup>0</sup> decay, <sup>137</sup> La <sup>-</sup> decay	199	<sup>137</sup> La	<sup>137</sup> La <sup>+</sup> , <sup>137</sup> La <sup>0</sup> , <sup>137</sup> La <sup>-</sup>	333
<sup>137</sup> La	<sup>137</sup> La <sup>+</sup> decay, <sup>137</sup> La <sup>0</sup> decay, <sup>137</sup> La <sup>-</sup> decay	199	<sup>137</sup> La	<sup>137</sup> La <sup>+</sup> , <sup>137</sup> La <sup>0</sup> , <sup>137</sup> La <sup>-</sup>	334
<sup>137</sup> La	<sup>137</sup> La <sup>+</sup> decay, <sup>137</sup> La <sup>0</sup> decay, <sup>137</sup> La <sup>-</sup> decay	199	<sup>137</sup> La	<sup>137</sup> La <sup>+</sup> , <sup>137</sup> La <sup>0</sup> , <sup>137</sup> La <sup>-</sup>	335
<sup>137</sup> La	<sup>137</sup> La <sup>+</sup> decay, <sup>137</sup> La <sup>0</sup> decay, <sup>137</sup> La <sup>-</sup> decay	199	<sup>137</sup> La	<sup>137</sup> La <sup>+</sup> , <sup>137</sup> La <sup>0</sup> , <sup>137</sup> La <sup>-</sup>	336
<sup>137</sup> La	<sup>137</sup> La <sup>+</sup> decay, <sup>137</sup> La <sup>0</sup> decay, <sup>137</sup> La <sup>-</sup> decay	199	<sup>137</sup> La	<sup>137</sup> La <sup>+</sup> , <sup>137</sup> La <sup>0</sup> , <sup>137</sup> La <sup>-</sup>	337
<sup>137</sup> La	<sup>137</sup> La <sup>+</sup> decay, <sup>137</sup> La <sup>0</sup> decay, <sup>137</sup> La <sup>-</sup> decay	199	<sup>137</sup> La	<sup>137</sup> La <sup>+</sup> , <sup>137</sup> La <sup>0</sup> , <sup>137</sup> La <sup>-</sup>	338
<sup>137</sup> La	<sup>137</sup> La <sup>+</sup> decay, <sup>137</sup> La <sup>0</sup> decay, <sup>137</sup> La <sup>-</sup> decay	199	<sup>137</sup> La	<sup>137</sup> La <sup>+</sup> , <sup>137</sup> La <sup>0</sup> , <sup>137</sup> La <sup>-</sup>	339
<sup>137</sup> La	<sup>137</sup> La <sup>+</sup> decay, <sup>137</sup> La <sup>0</sup> decay, <sup>137</sup> La <sup>-</sup> decay	199	<sup>137</sup> La	<sup>137</sup> La <sup>+</sup> , <sup>137</sup> La <sup>0</sup> , <sup>137</sup> La <sup>-</sup>	340
<sup>137</sup> La	<sup>137</sup> La <sup>+</sup> decay, <sup>137</sup> La <sup>0</sup> decay, <sup>137</sup> La <sup>-</sup> decay	199	<sup>137</sup> La	<sup>137</sup> La <sup>+</sup> , <sup>137</sup> La <sup>0</sup> , <sup>137</sup> La <sup>-</sup>	341
<sup>137</sup> La	<sup>137</sup> La <sup>+</sup> decay, <sup>137</sup> La <sup>0</sup> decay, <sup>137</sup> La <sup>-</sup> decay	199	<sup>137</sup> La	<sup>137</sup> La <sup>+</sup> , <sup>137</sup> La <sup>0</sup> , <sup>137</sup> La <sup>-</sup>	342
<sup>137</sup> La	<sup>137</sup> La <sup>+</sup> decay, <sup>137</sup> La <sup>0</sup> decay, <sup>137</sup> La <sup>-</sup> decay	199	<sup>137</sup> La	<sup>137</sup> La <sup>+</sup> , <sup>137</sup> La <sup>0</sup> , <sup>137</sup> La <sup>-</sup>	343
<sup>137</sup> La	<sup>137</sup> La <sup>+</sup> decay, <sup>137</sup> La <sup>0</sup> decay, <sup>137</sup> La <sup>-</sup> decay	199	<sup>137</sup> La	<sup>137</sup> La <sup>+</sup> , <sup>137</sup> La <sup>0</sup> , <sup>137</sup> La <sup>-</sup>	344
<sup>137</sup> La	<sup>137</sup> La <sup>+</sup> decay, <sup>137</sup> La <sup>0</sup> decay, <sup>137</sup> La <sup>-</sup> decay	199	<sup>137</sup> La	<sup>137</sup> La <sup>+</sup> , <sup>137</sup> La <sup>0</sup> , <sup>137</sup> La <sup>-</sup>	345
<sup>137</sup> La	<sup>137</sup> La <sup>+</sup> decay, <sup>137</sup> La <sup>0</sup> decay, <sup>137</sup> La <sup>-</sup> decay	199	<sup>137</sup> La	<sup>137</sup> La <sup>+</sup> , <sup>137</sup> La <sup>0</sup> , <sup>137</sup> La <sup>-</sup>	346
<sup>137</sup> La	<sup>137</sup> La <sup>+</sup> decay, <sup>137</sup> La <sup>0</sup> decay, <sup>137</sup> La <sup>-</sup> decay	199	<sup>137</sup> La	<sup>137</sup> La <sup>+</sup> , <sup>137</sup> La <sup>0</sup> , <sup>137</sup> La <sup>-</sup>	347
<sup>137</sup> La	<sup>137</sup> La <sup>+</sup> decay, <sup>137</sup> La <sup>0</sup> decay, <sup>137</sup> La <sup>-</sup> decay	199	<sup>137</sup> La	<sup>137</sup> La <sup>+</sup> , <sup>137</sup> La <sup>0</sup> , <sup>137</sup> La <sup>-</sup>	348
<sup>137</sup> La	<sup>137</sup> La <sup>+</sup> decay, <sup>137</sup> La <sup>0</sup> decay, <sup>137</sup> La <sup>-</sup> decay	199	<sup>137</sup> La	<sup>137</sup> La <sup>+</sup> , <sup>137</sup> La <sup>0</sup> , <sup>137</sup> La <sup>-</sup>	349
<sup>137</sup> La	<sup>137</sup> La <sup>+</sup> decay, <sup>137</sup> La <sup>0</sup> decay, <sup>137</sup> La <sup>-</sup> decay	199	<sup>137</sup> La	<sup>137</sup> La <sup>+</sup> , <sup>137</sup> La <sup>0</sup> , <sup>137</sup> La <sup>-</sup>	350
<sup>137</sup> La	<sup>137</sup> La <sup>+</sup> decay, <sup>137</sup> La <sup>0</sup> decay, <sup>137</sup> La <sup>-</sup> decay	199	<sup>137</sup> La	<sup>137</sup> La <sup>+</sup> , <sup>137</sup> La <sup>0</sup> , <sup>137</sup> La <sup>-</sup>	351
<sup>137</sup> La	<sup>137</sup> La <sup>+</sup> decay, <sup>137</sup> La <sup>0</sup> decay, <sup>137</sup> La <sup>-</sup> decay	199	<sup>137</sup> La	<sup>137</sup> La <sup>+</sup> , <sup>137</sup> La <sup>0</sup> , <sup>137</sup> La <sup>-</sup>	352
<sup>137</sup> La	<sup>137</sup> La <sup>+</sup> decay, <sup>137</sup> La <sup>0</sup> decay, <sup>137</sup> La <sup>-</sup> decay	199	<sup>137</sup> La	<sup>137</sup> La <sup>+</sup> , <sup>137</sup> La <sup>0</sup> , <sup>137</sup> La <sup>-</sup>	353
<sup>137</sup> La	<sup>137</sup> La <sup>+</sup> decay, <sup>137</sup> La <sup>0</sup> decay, <sup>137</sup> La <sup>-</sup> decay	199	<sup>137</sup> La	<sup>137</sup> La <sup>+</sup> , <sup>137</sup> La <sup>0</sup> , <sup>137</sup> La <sup>-</sup>	354
<sup>137</sup> La	<sup>137</sup> La <sup>+</sup> decay, <sup>137</sup> La <sup>0</sup> decay, <sup>137</sup> La <sup>-</sup> decay	199	<sup>137</sup> La	<sup>137</sup> La <sup>+</sup> , <sup>137</sup> La <sup>0</sup> , <sup>137</sup> La <sup>-</sup>	355
<sup>137</sup> La	<sup>137</sup> La <sup>+</sup> decay, <sup>137</sup> La <sup>0</sup> decay, <sup>137</sup> La <sup>-</sup> decay	199	<sup>137</sup> La	<sup>137</sup> La <sup>+</sup> , <sup>137</sup> La <sup>0</sup> , <sup>137</sup> La <sup>-</sup>	356
<sup>137</sup> La	<sup>137</sup> La <sup>+</sup> decay, <sup>137</sup> La <sup>0</sup> decay, <sup>137</sup> La <sup>-</sup> decay	199	<sup>137</sup> La	<sup>137</sup> La <sup>+</sup> , <sup>137</sup> La <sup>0</sup> , <sup>137</sup> La <sup>-</sup>	357
<sup>137</sup> La	<sup>137</sup> La <sup>+</sup> decay, <sup>137</sup> La <sup>0</sup> decay, <sup>137</sup> La <sup>-</sup> decay	199	<sup>137</sup> La	<sup>137</sup> La <sup>+</sup> , <sup>137</sup> La <sup>0</sup> , <sup>137</sup> La <sup>-</sup>	358
<sup>137</sup> La	<sup>137</sup> La <sup>+</sup> decay, <sup>137</sup> La <sup>0</sup> decay, <sup>137</sup> La <sup>-</sup> decay	199	<sup>137</sup> La	<sup>137</sup> La <sup>+</sup> , <sup>137</sup> La <sup>0</sup> , <sup>137</sup> La <sup>-</sup>	359
<sup>137</sup> La	<sup>137</sup> La <sup>+</sup> decay, <sup>137</sup> La <sup>0</sup> decay, <sup>137</sup> La <sup>-</sup> decay	199	<sup>137</sup> La	<sup>137</sup> La <sup>+</sup> , <sup>137</sup> La <sup>0</sup> , <sup>137</sup> La <sup>-</sup>	360
<sup>137</sup> La	<sup>137</sup> La <sup>+</sup> decay, <sup>137</sup> La <sup>0</sup> decay, <sup>137</sup> La <sup>-</sup> decay	199	<sup>137</sup> La	<sup>137</sup> La <sup>+</sup> , <sup>137</sup> La <sup>0</sup> , <sup>137</sup> La <sup>-</sup>	361
<sup>137</sup> La	<sup>137</sup> La <sup>+</sup> decay, <sup>137</sup> La <sup>0</sup> decay, <sup>137</sup> La <sup>-</sup> decay	199	<sup>137</sup> La	<sup>137</sup> La <sup>+</sup> , <sup>137</sup> La <sup>0</sup> , <sup>137</sup> La <sup>-</sup>	362
<sup>137</sup> La	<sup>137</sup> La <sup>+</sup> decay, <sup>137</sup> La <sup>0</sup> decay, <sup>137</sup> La <sup>-</sup> decay	199	<sup>137</sup> La	<sup>137</sup> La <sup>+</sup> , <sup>137</sup> La <sup>0</sup> , <sup>137</sup> La <sup>-</sup>	363
<sup>137</sup> La	<sup>137</sup> La <sup>+</sup> decay, <sup>137</sup> La <sup>0</sup> decay, <sup>137</sup> La <sup>-</sup> decay	199	<sup>137</sup> La	<sup>137</sup> La <sup>+</sup> , <sup>137</sup> La <sup>0</sup> , <sup>137</sup> La <sup>-</sup>	



# Nuclear Structure Data ENSDF Evaluations

Caroline Nesaraja



**A=137**

September 2018: Submitted A=137

December 2019: Reviewer's comments received for A=137

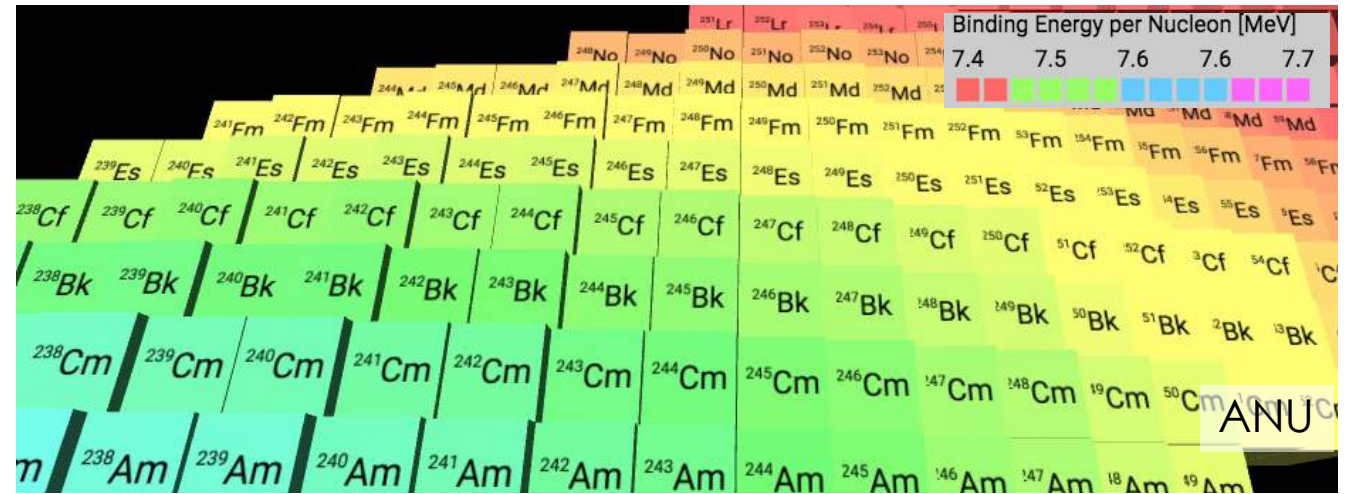
August 2022: Resubmitted A=137

Between September 2019- August 2022 (3 years lag time)

- 9400 changes since last version
- includes  $^{137}\text{Cs}$  used for cancer treatment
- now includes numerical MTAS data not previously available
- also includes results from 24 new papers since 2018
- end result is a 514-page evaluation

# Nuclear Structure Data Related Activities

Caroline Nesaraja



- Member – Int. Program Committee for ND2022 at LLNL (418 participants)

- Member – NSAC Nuclear Data Subcommittee

## DOE/NSF Nuclear Science Advisory Committee



### 15th International Conference on Nuclear Data for Science and Technology (ND2022)

ND2022 is the latest in a series of conferences on nuclear data held every three years since 1978. This conference brings together international experts involved in generating and using nuclear data for a week of presentations and in-depth discussion.

ND2022 is being organized by LLNL and will be held July 24–29, 2022. The conference was originally scheduled to be held at the SAFE Credit Union Convention Center in Sacramento, California, but has been converted to a virtual event due to ongoing COVID-19 uncertainty.

More information about the conference is available at the [ND2022 website](#).



Research & Development | Missions | Resources | Partnerships | Careers | News | About

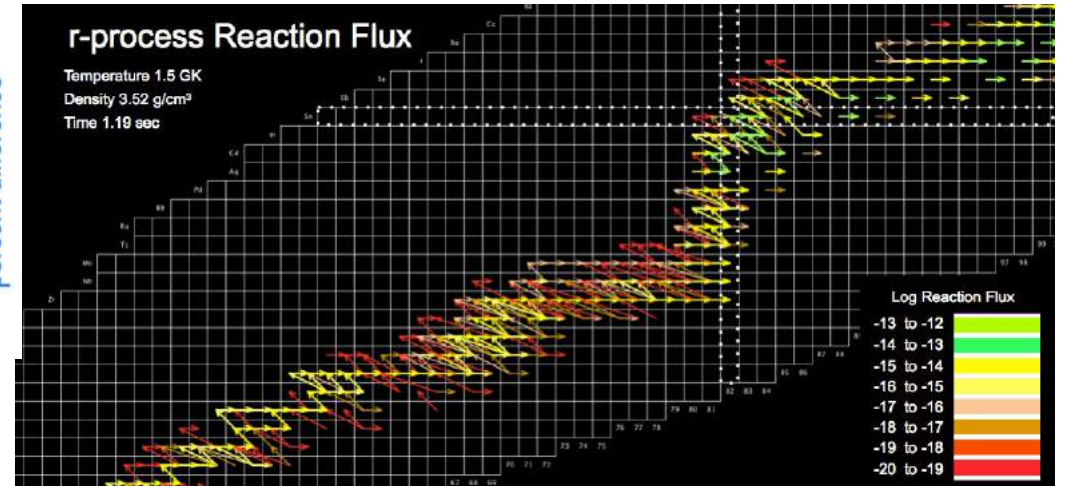
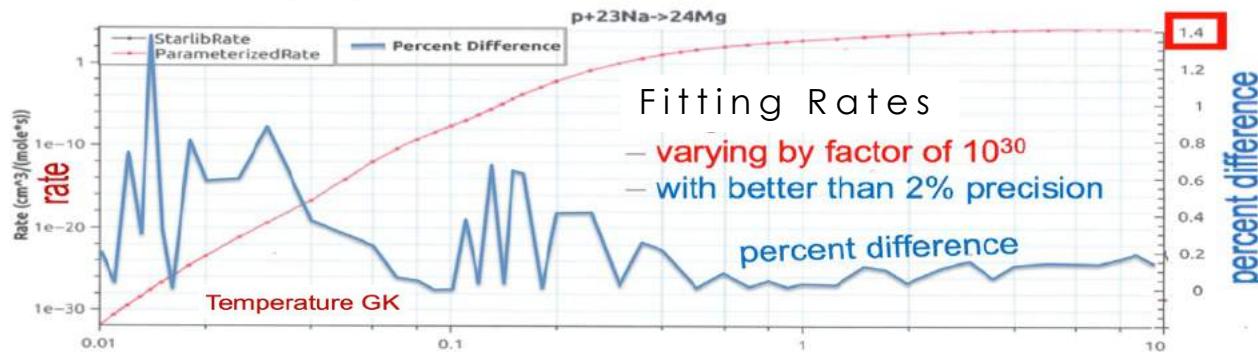
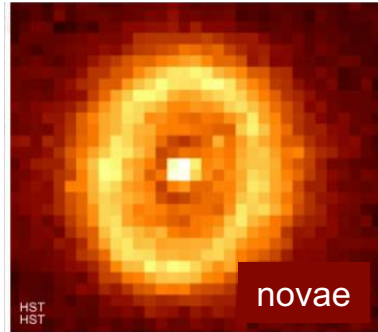
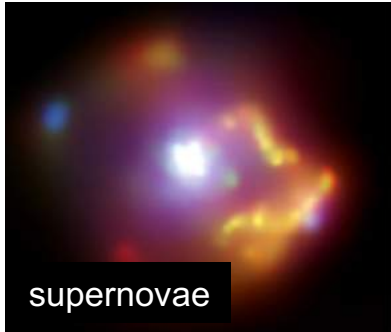


Lawrence Livermore National Laboratory • 7000 East Avenue • Livermore, CA 94550  
Operated by Lawrence Livermore National Security, LLC, for the Department of Energy's National Nuclear Security Administration.





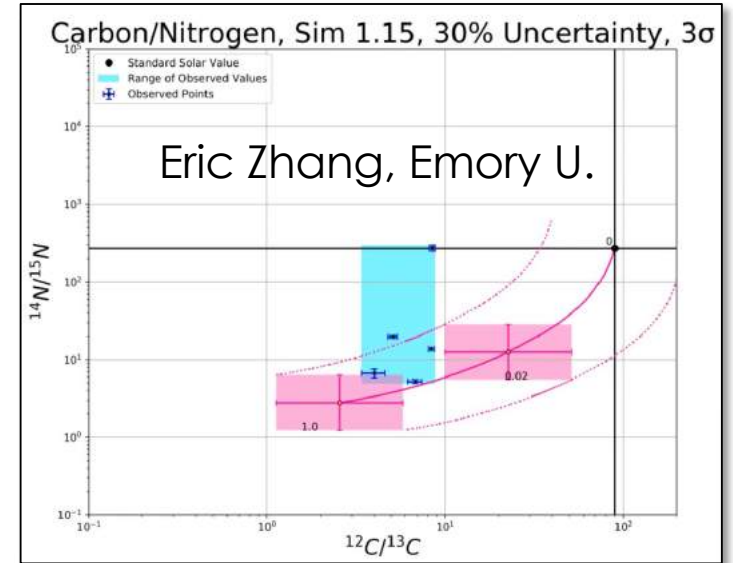
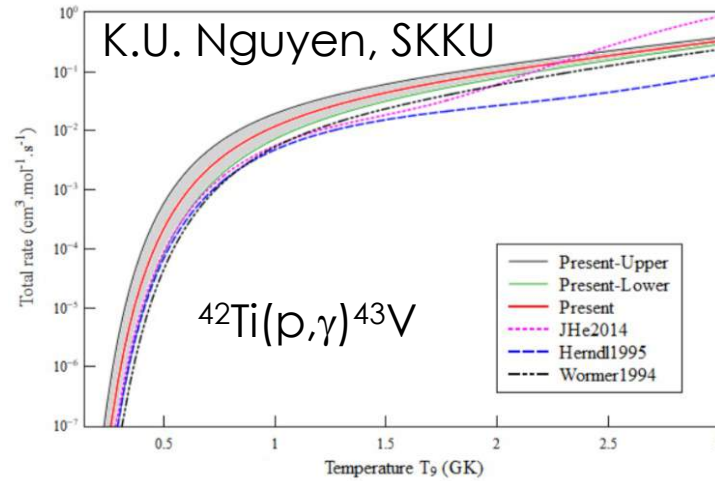
# Nuclear Astrophysics Data



- focus on Stellar Explosions
- we **closely couple data activities to measurements** on unstable nuclei as recommended in NSAC LRP and listed as DOE NP milestones
- Personnel
  - Michael Smith – Staff
  - Larry Zhang – Student



# Collaborators



- Beihang Univ. (BUAA) in Beijing, China
  - **Shisheng Zhang** (Professor) – theoretical nuclear physics, cross section predictions
  - **B. Shao, S. Y. Zhong, Sizhe Xu** (BUAA grad students) – theoretical nuclear physics
- SungKyunKwon Univ. (SKKU) in Korea
  - **Kyungyuk Chae** (Professor) – reaction assessments for astrophysics
  - **C. Kim** (postdoc), **K.U. Nguyen** (grad student) – reaction assessments for astrophysics
- Emory Univ. (Atlanta)
  - **Eric Zhang** (undergrad) – uncertainty quantification in nuclear astrophysics

# Reaction Assessments

with SKKU

THE ASTROPHYSICAL JOURNAL, 929:96 (11pp), 2022 April 10

© 2022. The Author(s). Published by the American Astronomical Society.

OPEN ACCESS

## Estimation of the NiCu Cycle Strength and Its Impact on Type I X-Ray Bursts

Chanhee Kim<sup>1</sup>, Kyungyuk Chae<sup>1</sup>, Soomi Cha<sup>2</sup>, Kyujin Kwak<sup>3</sup>, Gwangeon Seong<sup>3</sup>, and Michael Smith<sup>4</sup>

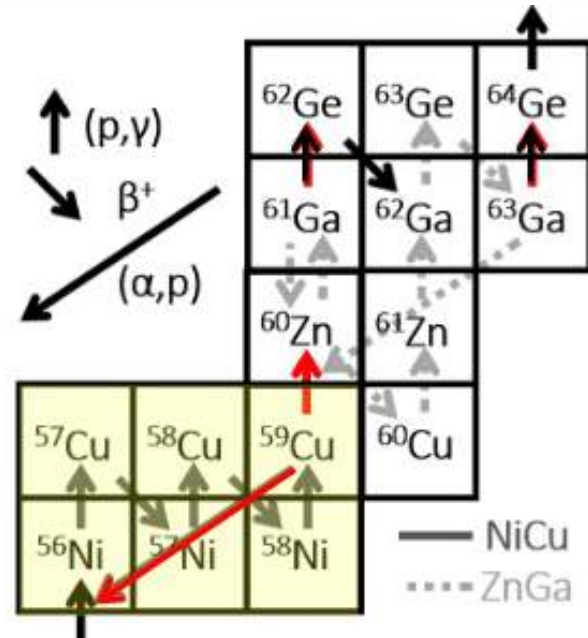
<sup>1</sup> Department of Physics, Sungkyunkwan University, Suwon 16419, Republic of Korea; [kchae@skku.edu](mailto:kchae@skku.edu)

<sup>2</sup> Center for Exotic Nuclear Studies, Institute for Basic Science (IBS), Daejeon 34126, Republic of Korea

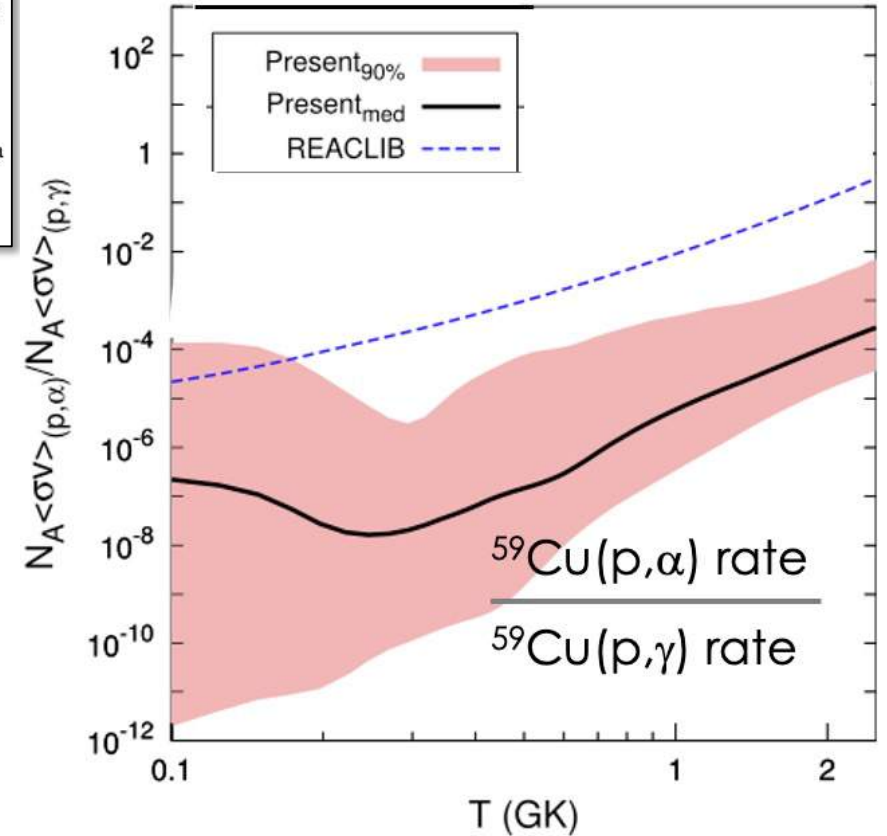
<sup>3</sup> Department of Physics, School of Natural Science, Ulsan National Institute of Science and Technology (UNIST), Ulsan 44919, Republic of Korea

<sup>4</sup> Physics Division, Oak Ridge National Laboratory, Oak Ridge, TN 37831, USA

Received 2022 January 26; revised 2022 March 16; accepted 2022 March 16; published 2022 April 15



**Figure 6.** Strength of the NiCu cycle as a function of temperature (gigakelvin). The red band is obtained by setting the lower limit as the ratio of the low  $^{59}\text{Cu}(p,\alpha)^{56}\text{Ni}$  and high  $^{59}\text{Cu}(p,\gamma)^{60}\text{Zn}$  rates and the upper limit as the ratio of the high  $^{59}\text{Cu}(p,\alpha)^{56}\text{Ni}$  and low  $^{59}\text{Cu}(p,\gamma)^{60}\text{Zn}$  rates. The cycle strength by REACLIB and variations employed in the previous sensitivity studies are also plotted.



- Assessment of the  $^{59}\text{Cu}(p,\gamma)$  and  $^{59}\text{Cu}(p,\alpha)$  rates for X-ray bursts



# Reaction Assessments

with SKKU

## Assessment of the reaction rates of $^{42}\text{Ti}(p,\gamma)^{43}\text{V}$ in type I

### X-ray burst

N. K. UYEN, N. N. DUY and K. Y. CHAE\*

*Department of Physics, Sungkyunkwan University, Suwon 16419, South Korea*

M. S. SMITH

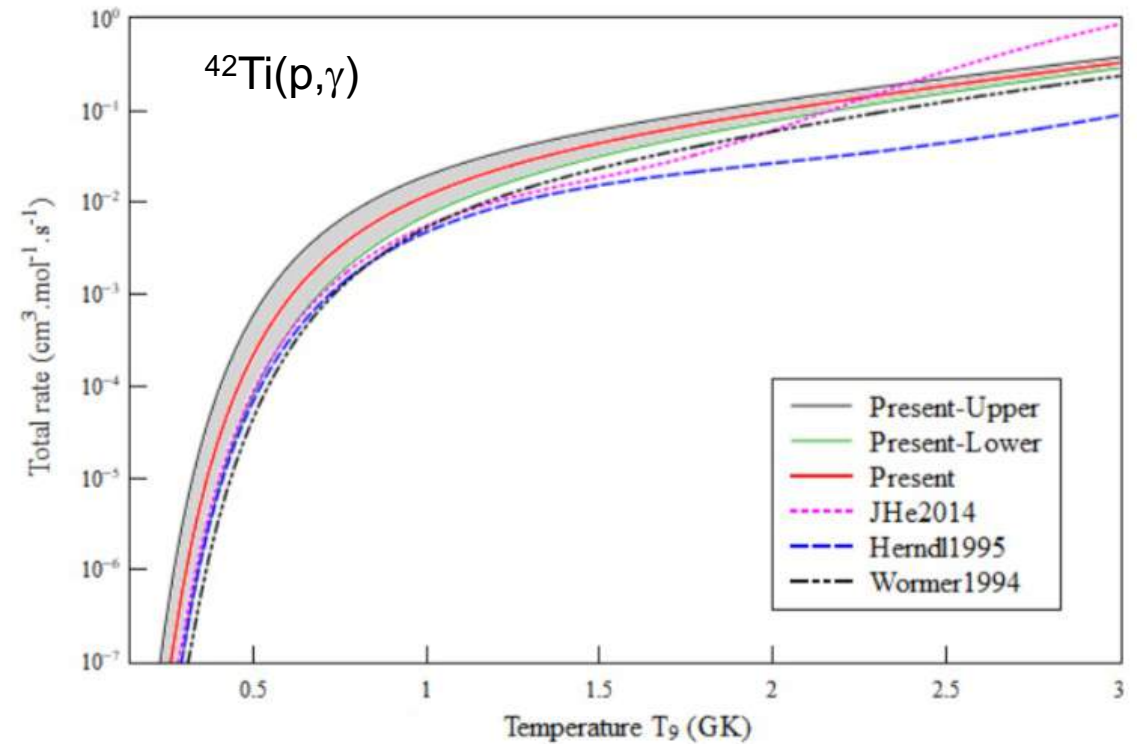
*Physics Division, Oak Ridge National Laboratory, Oak Ridge, TN 37831, USA*

L. XAYAVONG

*Department of Physics, National University of Laos,  
7322, Dongdok, Vientiane, Lao PDR*

Table 2. The presently parameters for the  $^{42}\text{Ti}(\gamma,p)^{43}\text{V}$  resonant reaction rates. The adopted proton separation energy  $S_p = 100 \pm 43$  keV regarding to the AME16 relied on Ref. [16].

$E_x$ (MeV)	$E_i$ (MeV)	$\tau$ (ps)	$J^\pi$	$l$	$C^2S_p$	$\Gamma_\gamma$ (eV)	$\Gamma_p$ (eV)	$\omega\gamma$ (MeV)
0.436	0.336	22.00	$(\frac{5}{2})^-$	3	0.150	$2.99 \times 10^{-05}$	$1.73 \times 10^{-08}$	$5.18 \times 10^{-14}$
0.537	0.437	117.00	$(\frac{3}{2})^-$	1	0.046	$5.63 \times 10^{-06}$	$1.09 \times 10^{-04}$	$1.07 \times 10^{-11}$
1.014	0.914	9.14	$(\frac{3}{2})^-$	1	0.002	$7.20 \times 10^{-05}$	$6.07 \times 10^{-02}$	$1.44 \times 10^{-10}$
1.844	1.744	0.61	$(\frac{3}{2})^-$	1	0.905	$1.09 \times 10^{-03}$	$6.74 \times 10^{-03}$	$2.17 \times 10^{-09}$



- Assessment of the  $^{42}\text{Ti}(p,\gamma)$  rate for X-ray burst nucleosynthesis studies

# Reaction Assessments

with SKKU

PHYSICAL REVIEW C **105**, 025801 (2022)

Chanhee Kim, K.Y. Chae et al. SKKU  
M.S. Smith, K. Chipps, S.D. Pain, ORNL

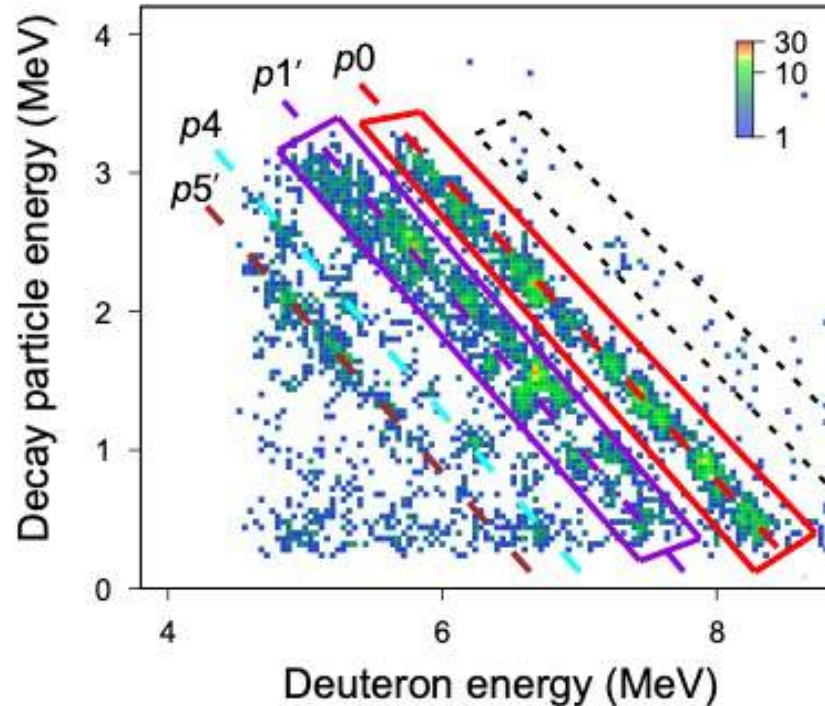


FIG. 1. Decay particle energy versus coincident reaction deuteron energy plot for all identified events. Four major diagonal bands labeled as  $p0$ ,  $p1'$ ,  $p4$ , and  $p5'$  are evident. Each band

TABLE I. Proton branching ratios ( $b_p$ ) of  $^{23}\text{Mg}$  levels extracted for  $p0$ ,  $p1'$ ,  $p1$ ,  $p2$ , and  $p3$ . The excitation energy values were taken from Ref. [20]. Uncertainties include factors originated from the statistics, backgrounds, and discrepancy between isotropic and anisotropic decay. See Sec. III C for detailed argument on isotropic and anisotropic decay.

$E_x$ (keV)	$b_{p0}$	$b_{p1'}$	$b_{p1}$	$b_{p2}$	$b_{p3}$
$8044 \pm 4$	$0.36 \pm 0.11$				
$8170 \pm 4$	$0.36 \pm 0.12$				
$8330 \pm 6$	$0.48 \pm 0.15$				
$8436 \pm 7$	$0.59 \pm 0.18$				
$8770 \pm 8$	$0.86 \pm 0.27$				
$8924 \pm 5$	$0.47 \pm 0.15$	$0.26 \pm 0.08$	$(0.13 \pm 0.04)$	$(0.01 \pm 0.01)$	$(0.12 \pm 0.04)$
$9123 \pm 7$	$0.36 \pm 0.11$	$0.35 \pm 0.11$	$(0.06 \pm 0.02)$	$(0.27 \pm 0.09)$	$(0.03 \pm 0.01)$
9642	$0.37 \pm 0.11$	$0.49 \pm 0.15$	$(0.14 \pm 0.05)$	$(0.26 \pm 0.08)$	$(0.08 \pm 0.03)$

- Measurement of branching ratio of  $^{24}\text{Mg}(p,d)^{23}\text{Mg}$  levels for high-temp  $^{22}\text{Na}(p,\gamma)$  burning

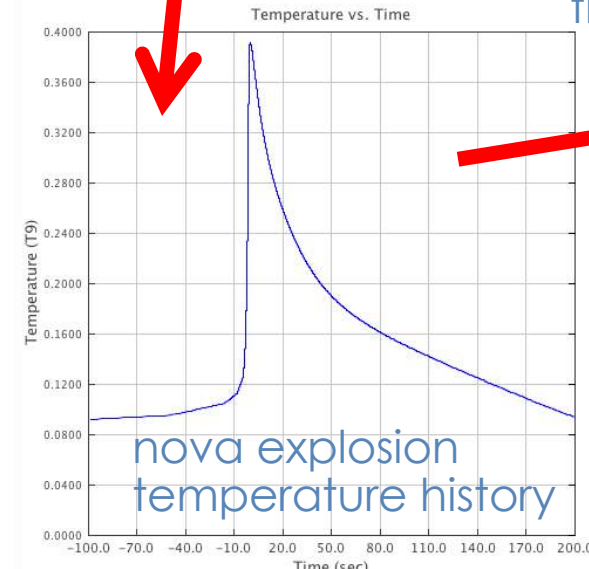
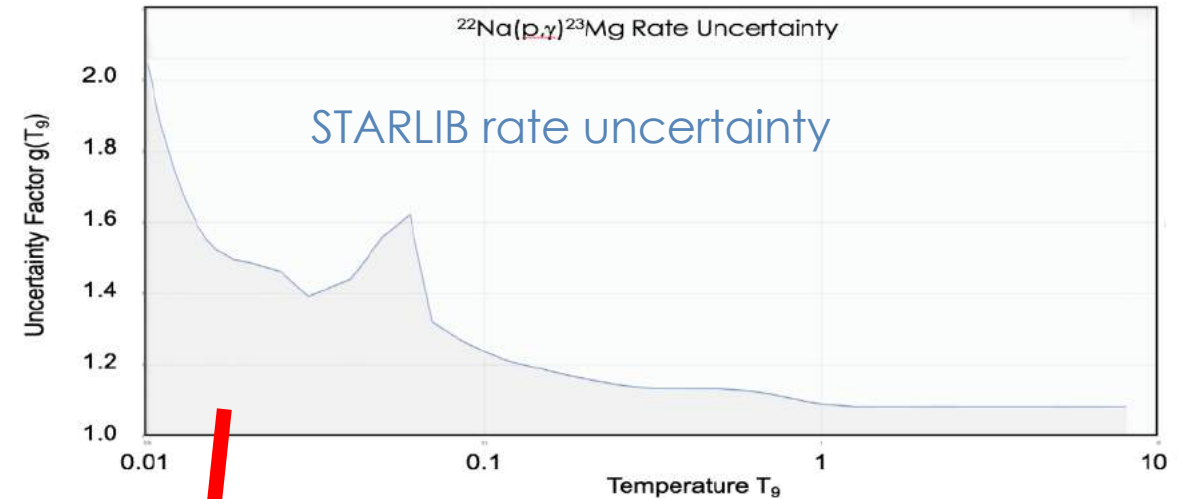


# Nuclear Astrophysics Data

## STARLIB rates

14C(a,g)18O	25Al(p,g)26Si
14C(p,g)15N	25Mg(p,g)26Al
14N(a,g)18F	26Al(p,g)27Si
15N(a,g)19F	26Mg(p,g)27Al
15O(a,g)19Ne	26Si(p,g)27P
16O(a,g)20Ne	27Al(p,a)24Mg
16O(p,g)17F	27Al(p,g)28Si
17F(p,g)18Ne	27P(p,g)28S
17O(p,a)14N	27Si(p,g)28P
17O(p,g)18F	28Si(p,g)29P
18F(p,a)15O	29P(p,g)30S
18F(p,g)15O	29Si(p,g)30P
18F(p,g)19Ne	30S(p,g)31Cl
18O(a,g)22Ne	30Si(p,g)31P
18O(p,a)15N	31Cl(p,g)32Ar

18O(p,g)19F	31P(p,a)28Si
19Ne(p,g)20Na	31P(p,a)28Si
20Ne(a,g)24Mg	31P(p,g)32S
20Ne(p,g)21Na	31S(p,g)32Cl
21Na(p,g)22Mg	32Cl(p,g)33Ar
21Ne(p,g)22Na	32S(p,g)33Cl
22Mg(p,g)23Al	34Ar(p,g)35K
22Na(p,g)23Mg	35Ar(p,g)36K
22Ne(p,g)23Na	35Cl(p,a)32S
23Al(p,g)24Si	35Cl(p,g)36Ar
23Mg(p,g)24Al	35K(p,g)36Ca
23Na(p,a)20Ne	36Ar(p,g)37K
23Na(p,g)24Mg	38Ar(p,g)39K
24Al(p,g)25Si	39Ca(p,g)40Sc
24Mg(a,g)28Si	40Ca(p,g)41Sc
24Mg(p,g)25Al	

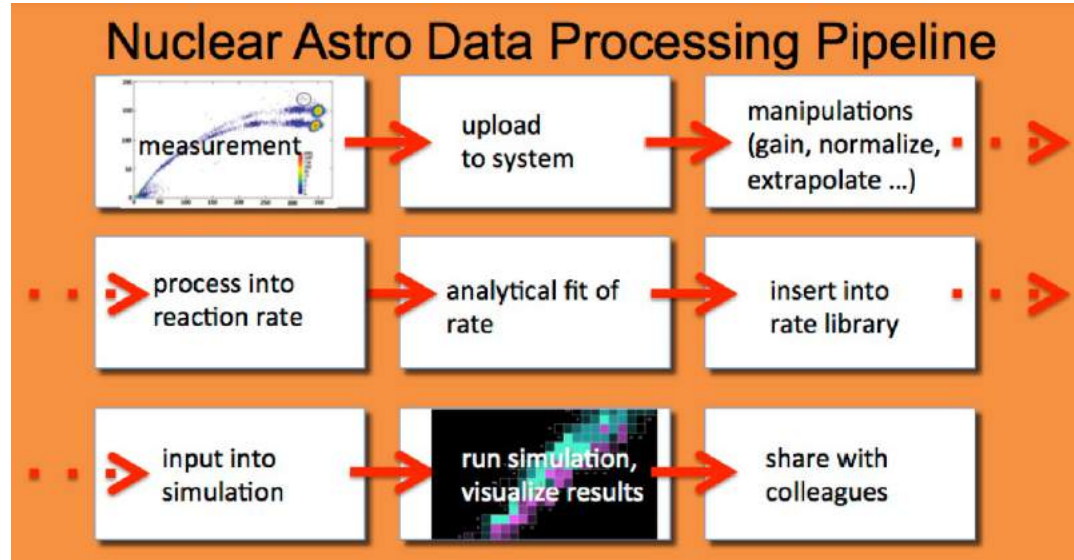


thermally avg uncertainty

Rate	Uncertainty Factor
n13 (p,g) o14	1.41
n14 (p,g) o15	1.08
n14 (a,g) f18	1.14
n15 (p,g) o16	1.42
n15 (a,g) f19	1.76
o15 (a,g) ne19	2.88
o16 (p,g) f17	1.07
o16 (a,g) ne20	1.41
o17 (p,g) f18	1.05
o18 (p,g) f19	1.34
o18 (a,g) ne22	2.08

- improving thermonuclear reactions
  - processing & thermally averaging rate uncertainties

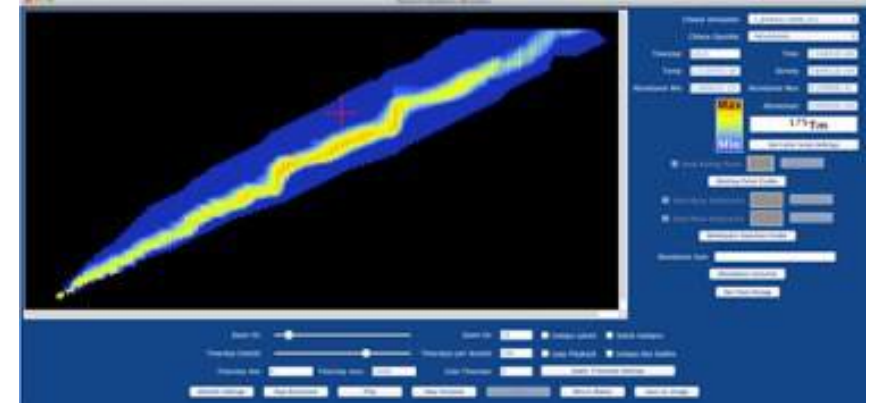
# Online Software Systems



Computational Infrastructure for Nuclear Astrophysics

since 2004

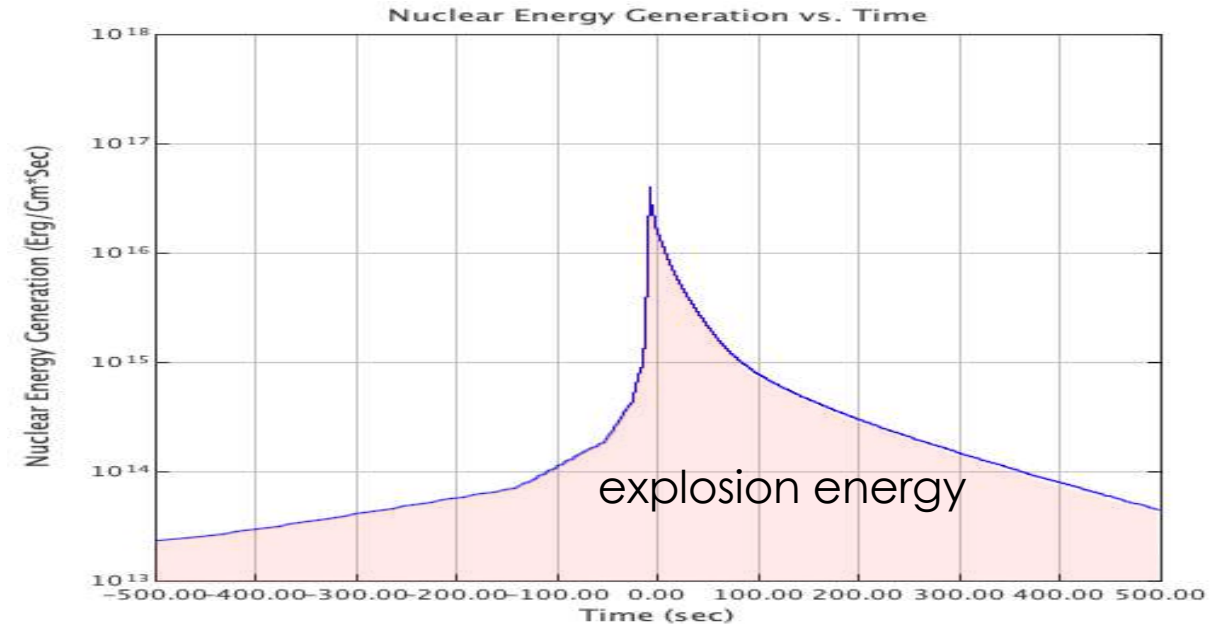
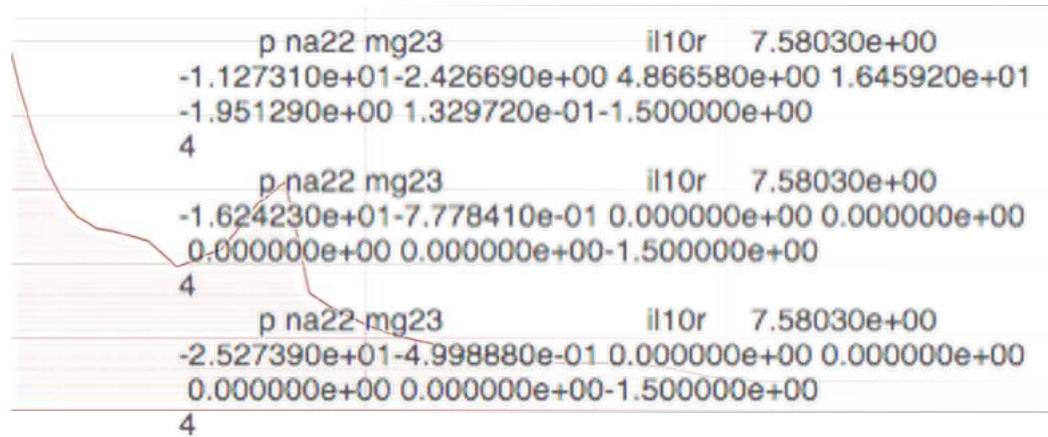
NUCASTRODATA.ORG



- **unique** set of online software systems that **serve** the community carrying out DOE NP-supported research programs and endorsed by NSAC LRP
- systems used by researchers in over **180 institutions** in **42 countries**
- systems improve return on investment of **nuclear data for research projects**
- many ideas for expanding and improving these services
- currently working to improve the backbone of the system



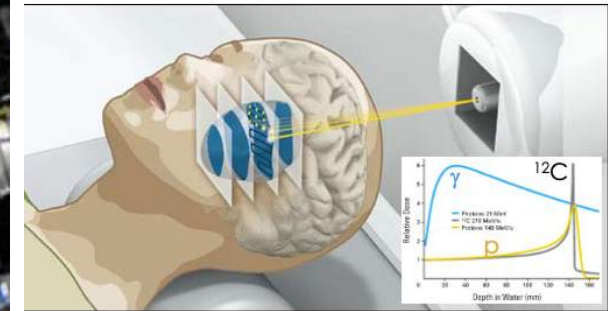
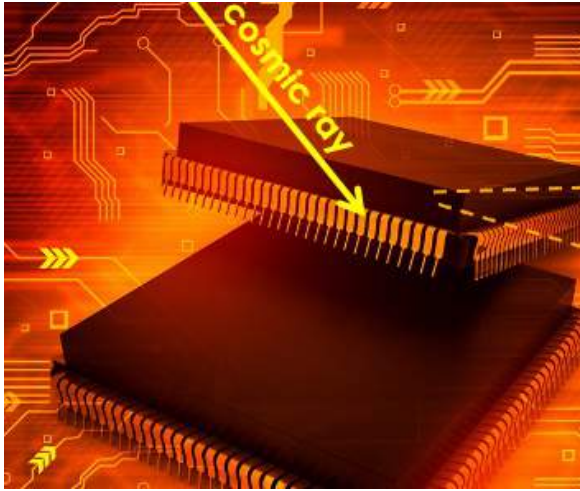
# Future Possible Projects



- add **uncertainties** to REACLIB thermonuclear rate library
- update REACLIB **content**
- develop **benchmark simulations** and **integral parameters** (e.g.,  $k_{\text{eff}}$  equivalents) to help validate nuclear astrophysics rate libraries
- explore processing (some) TALYS cross sections into REACLIB rate format

# Synergistic Activities – WANDA2022

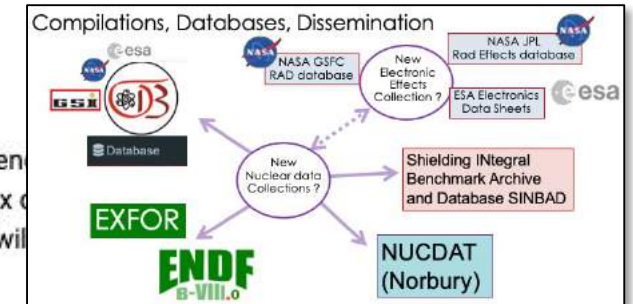
## Workshop for Applied Nuclear Data Activities (WANDA 2022)



### Nuclear Data for High Energy Ion Interactions and Secondary Particle Production

*Chairs: K.LaBel (KBR Wyle/SSAI), M. Smith (ORNL), R. Vogt (LLNL/UC Davis)*

*Session Summary:* The Galactic Cosmic Ray background covers a wide energy range, peaking at several hundred MeV/nucleon, but extends to and beyond 10 GeV/nucleon. The interaction of these particles with spacecraft materials and occupants creates a large and complex environment that presents challenges to modeling, especially in the absence of measured data covering the entire energy range. In this session we will identify the improvements required in all components of the nuclear data pipeline to enable safe space exploration.

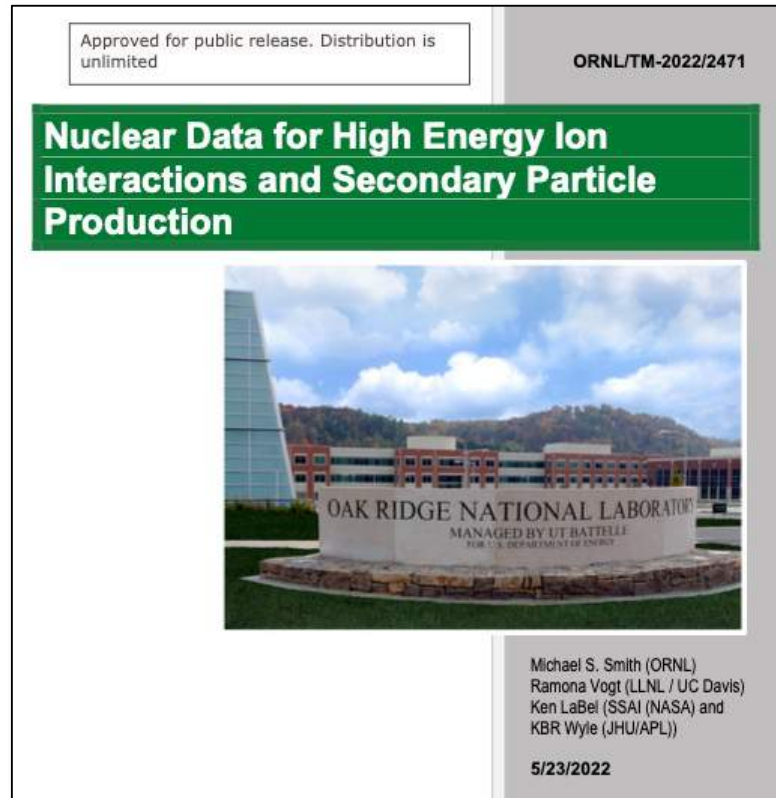


- Organizer for **Space Session** on HE Ion Interactions/Secondary Particle Production
- Detailed Session report available on OSTI



# Synergistic Activities – WANDA2022

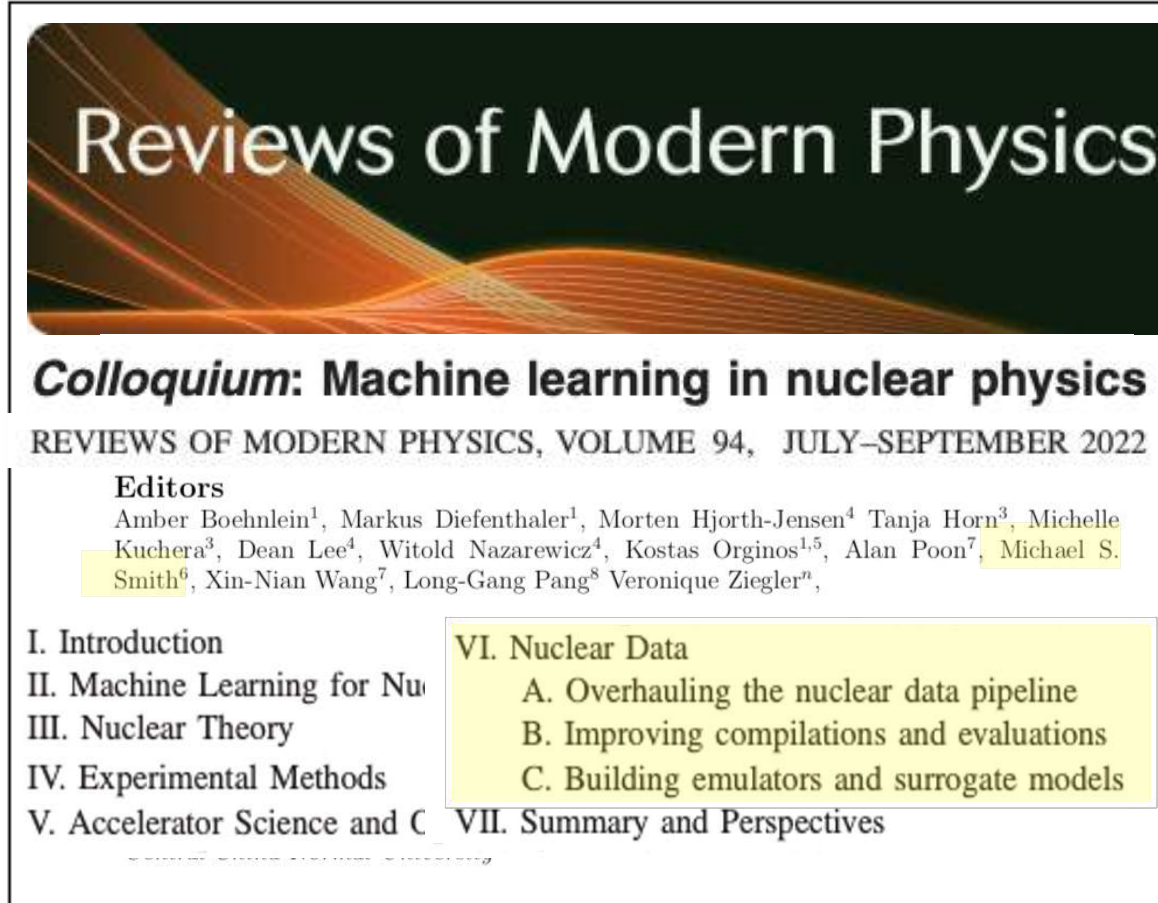
## Workshop for Applied Nuclear Data Activities (WANDA 2022)



ABSTRACT .....	5
I. INTRODUCTION .....	6
II. BACKGROUND .....	6
III. CURRENT STATUS AND NUCLEAR DATA GAPS .....	8
<i>A. Experimental Facilities</i> .....	8
<i>B. Databases, Dissemination, Compilation</i> .....	10
<i>C. Reaction Models</i> .....	11
<i>D. End-User Applications</i> .....	12
1. Radiation Transport .....	13
2. Electronics and Human Effects .....	14
3. Spacecraft Design .....	15
<i>E. Sensitivity Studies and Uncertainty Quantification</i> .....	16
IV. DISCUSSION .....	17
V. SUMMARY .....	19
VI. ACKNOWLEDGEMENTS .....	19
REFERENCES .....	20

- Organizer for **Space Session** on HE Ion Interactions/Secondary Particle Production
- Detailed Session report available on OSTI

# Synergistic Activities – Machine Learning



## USNDP Task Force on Machine Learning

- share approaches & algorithms
- plan strategies for future work
- create ML toolkits for non-experts
- collaborations with ML experts
- provide input for future FOAs
- recruit students/researchers

- co-author of RMP review article on **ML in Nuclear Physics**
- presentations on Machine Learning in Nuclear Data at NSAC Town Hall 2022
- Recommend formation of a **USNDP Task Force on Machine Learning**



# Synergistic Activities – Outreach & Workforce

## Informal Science Education and Career Advancement

Michael S. Smith,<sup>1,\*</sup> Claudia Fracchiolla,<sup>2,†</sup> Sean Fleming,<sup>3</sup> Arturo Dominguez,<sup>4</sup> Alexandra Lau,<sup>2</sup> Shannon Greco,<sup>4</sup>  
Don Lincoln,<sup>5</sup> Eleni Katifori,<sup>6</sup> William Ratcliff,<sup>7</sup> Maria Longobardi,<sup>8</sup> Maajida Murdock,<sup>9</sup> and Mustapha Ishak<sup>10</sup>

This document supports a proposed APS statement that encourages academic, research, and other institutions to add the participation in informal science education activities to the criteria they use for hiring and career advancement decisions. There is a prevalent attitude that the time spent by a researcher on these activities takes time away from research efforts that are more valued by their peers and their institution. To change this mindset, we enumerate the many benefits of informal science education activities to the public, to researchers, to their institutions, and to the field of physics. We also suggest aspects of these activities that may be considered by institutions in evaluating informal educational efforts for recruitment and career advancement decisions.

arXiv:2112.10623v1



Outreach event with  
6<sup>th</sup> graders in Rhode Island  
Nov 2022

- **Past Chair** of APS **Committee to Inform the Public** (CIP) – workforce development
- Elected to APS **Forum on Outreach and Engaging the Public** (FOEP)
- **Drafting poster** on Nuclear Data for DOE NP Office
- NSAC Town Hall presentations on **Outreach** and on **Education/Training**
- NSAC-ND subcommittee written input on **Workforce Retention**
- Remote **outreach presentations** on nuclear astrophysics & nuclear data given to middle school students in Rhode Island



# Synergistic Activities – Outreach & Workforce

## US Nuclear Data Program

**Mission**  
to provide current, accurate, authoritative nuclear structure & reaction data for workers in pure and applied areas of nuclear science and engineering

**Approaches**

- compilation, evaluation, dissemination, and archiving of nuclear datasets
- targeted experimental studies
- theory model development & utilization
- connections with end-user applications

**Workforce**

- strong commitment to a diverse, equitable, inclusive workforce through programs including PIER and RENEW
- recruiting extends to all areas of nuclear science

**Future**

- improve nuclear data methodologies
- exploit developments in machine learning, high performance computing, quantum computing, theory, & experiment

**Impacts**

- nuclear medicine
- nuclear energy
- isotope production
- space exploration
- nuclear non-proliferation
- contraband detection
- stockpile stewardship
- nuclear forensics
- advanced reactors
- origin of the elements

U.S. DEPARTMENT OF **ENERGY** Office of Science

**National Nuclear Data Center**

- **Drafting poster** on Nuclear Data for DOE NP Office